

京都大学工学部 正員 赤井 浩一
 ○電力中央研究所 正員 中川 加明一郎
 京都大学大学院 学生員 北 健二

1. 考え方

飽和粘性土の応力-ひずみ関係の表現を確立することを目的に、従来より、数多くの研究がなされてきた。特に、Roscoeらによつて提案された弾塑性モデル (Cam-clay model) は、State Boundary Surface の概念によつて、粘土の挙動を統一的に説明することを試みたものであつた。さらに、Roscoeらのモデルを基礎にして、正規圧密粘土の構成関係を時間依存性を含めて表現すべく、弾塑性モデルも提出されてゐる。さしつこいは、一方で載荷時の正規圧密粘土の挙動を、ある程度の妥当性をもつて表現し得るものであることが明らかになつてゐる。しかし、繰り返し載荷に対する挙動を表現することは困難である。Dongreyらは、正規圧密粘土に対して、極めて遅いひずみ速度で繰り返し載荷試験を、応力の最大値を制御することにより行ない、過剰間隙水圧が発生および蓄積し、あくまで以下での応力では平衡状態に達することを指摘した。これは、有効応力経路が State Boundary Surface の内側、すなわち、過圧密の領域に入つてゆくことを意味してゐる。筆者らは、この推移の過程に注目し、繰り返し載荷試験を行ない、実験結果にもとづいて考察を行なつ。

2. 実験方法および実験結果

実験装置としては、電気・油圧サーボを用ひて、ひずみ制御の試験に対しても、軸圧、側圧を、自動的に運動制御できる三軸装置を製作し、使用した。これにより、平均主応力を一定に保持しながら定ひずみ速度せん断試験を行なうことが可能となる。

実験試料は、室内で、繰り返し、再圧密して深草粘土（先行圧密圧力は約0.6 kg/cm²）を用い、直徑5cm、高さ10cmに成形して供試体として。物理特性は LL 45.7%、

PL 65.5%、Gs 2.697、砂分 14.6%、シルト

分 65.5%、粘土分 20.9%。

実験方法は、圧密非排水せん断（圧密圧力は2.0 kg/cm²）とし、繰り返し試験は、図-1に示されるように、定ひずみ速度で軸圧を載荷荷することにより行なつた。なお、このとき平均主応力は2.0 kg/cm²に一定に保持した。ひずみ速度は0.3%/min. (0.01%/min.) の2通りとし、ひずみ振幅は0.1%、0.25%、0.5%の3通りとした。

実験結果のうち、 $\dot{\epsilon} = 0.3\%/\text{min.}$ 、ひずみ振幅0.5%と1ひずみの有効応力経路を図-2の破線で示した。

3. 考察および結論

本実験結果から、繰り返しの回数が少なく、平衡状態を直接観測することができなかつた。しかし、応力経路の左方向への

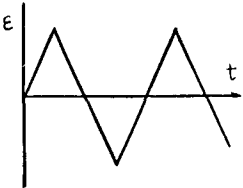


図-1
軸ひずみ-時間関係

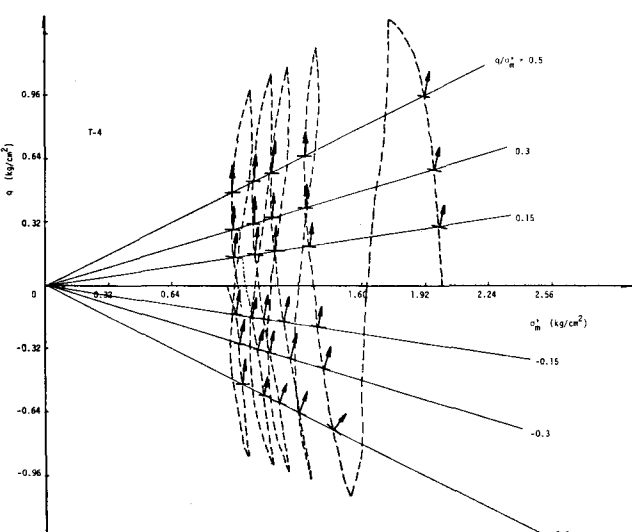


図-2

有効応力経路(破線)および塑性ひずみ増分ベクトルの方向

移動量は繰り返しとともに減少し、すなわち、平衡状態へ漸近する様子が認められた。この推移は、正規圧密粘土が繰り返し載荷をうけたとき、過剝間隙水圧が発生するより蓄積することにより、応力状態が、いわゆる State Boundary Surface 内に入り、平衡状態へと移動することを意味している。State Boundary Surface 内では弾性的挙動が仮定されており、実験事実はこの仮定の不合理性を示すものである。この不合理性は、以前より、過圧密粘土の挙動に関して指摘されていく。

今回の実験において示されたように、過剝間隙水圧の発生とより蓄積は、State Boundary Surface 内においても塑性体積ひずみが発生することを意味する。ここで、塑性体積ひずみ増分 δV_p^p やせん断ひずみ増分 γ を求める。そして、せん断ひずみ増分はすべて塑性せん断ひずみ増分 γ_p とすれば、 $\delta V_p^p = \gamma_p \cdot \alpha$ は塑性ひずみ増分ベクトルの方向を表わすことになる。 γ_{cm} の種々の値に対する塑性ひずみ増分ベクトルの方向を、図-2 の応力経路上に矢線で示した。ただし、 γ_{cm} では、軸差応力増加時に對してのみ示した。これからわかるように、normality rule の成立を前提として、塑性ひずみ増分ベクトルに垂直な面はポテンシャル面を形成することになる。そこで、繰り返しの途中の過程において、 δV_p^p と γ_{cm} とをプロットして図-3を得た。これより δV_p^p と γ_{cm} とは直線関係にあることがわかる。なお、この直線関係は繰り返しの回数を増加させても保持された。そして、この直線は次式のように表わせる。

$$\frac{\delta V_p^p}{\delta E} + \frac{\alpha}{\beta} \cdot \frac{\gamma}{\gamma_{cm}} = \alpha \quad \dots (1)$$

ここで、 α ; $\delta V_p^p/\delta E$ 軸の切片、 β ; γ/γ_{cm} 軸の切片

これは Roscoe or Cam-clay model における降伏曲面を示す式

$$\frac{\delta V_p^p}{\delta E} + \frac{\gamma}{\gamma_{cm}} = M \quad M; \text{Critical State Line の傾き} \quad \dots (2)$$

と類似するものである。

以上の考察より次のことが結論される。
すなわち、State Boundary Surface と呼ばれる領域の内部にも塑性ポテンシャルが存在し、しかもそれは、State Boundary Surface の外部のものと同類である。

4. あとがき

Roscoe らは、間げき比、平均有効主応力および軸差応力 (σ_{cm}, f) によ

て State Boundary Surface は一意に決定されるものとした。しかし、今回の実験より得られた結論は、その一意性を極めず不明瞭なものにする。一方、Bjerrum は、正規圧密粘土における経時効果(2 次圧密)が存在することを指摘しつつ、このことでも State Boundary Surface の一意性に反する。この経時効果によつて到達する平衡状態は、繰り返し効果によつて到達する平衡状態と同じ領域を形成するとも予想できる。結果、繰り返し効果あるいは経時効果によつて到達する平衡状態におけるのみ、State Boundary Surface にもとづく理論が成立すると言えられる。今後は、平衡状態への移動過程、それに影響を与える履歴の効果および時間依存性とともに表現しきるモデルの決定が望まれる。

参考文献. 1) Roscoe et al.; Yielding of Clays in States Wetter than Critical, Geotech. Vol.13, 1963. 2) Sengar et al.; The Effective Stress Response of a Saturated Clay Soil to Repeated Loading, Canadian Geotech. Jour. 6, 1969. 3) 赤井他; 平均主応力一定のもとでの粘土のせん断試験; 第13回国土工学研究発表会, 1978. 4) Bjerrum; Embankment on Soft Ground, Proc. ASCE Special Conf. on Performance of Earth-Supported Structures, Vol.2 1972.

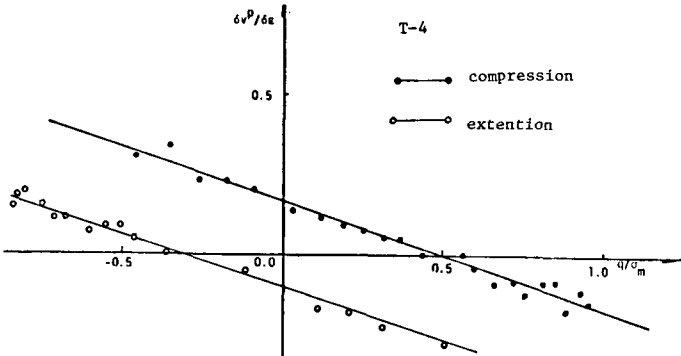


図-3 $\delta V_p^p/\delta E - \gamma/\gamma_{cm}$ 関係